



$$\frac{d\sigma_{ns}}{\sigma_{ns}} = S_t \frac{dt}{t} \quad \frac{d\sigma_{ns}}{\sigma_{ns}} = S_d \frac{dd}{d} \quad (1)$$

Table 1. Sensitivity  $S_t$  and  $S_d$  of shear torsion

| $t$ [mm] | $d$ [mm] | $S_t$ | $S_d$  | $S_t \pm 0.5S_d$ | $S_t(S_t \pm 0.5S_d)$ | $S_d(S_t \pm 0.5S_d)$ |
|----------|----------|-------|--------|------------------|-----------------------|-----------------------|
| 0.8      | 5        | -1.01 | -0.627 | -1.32            | 76.3%                 | 23.7%                 |
| 0.8      | 6        | -1.00 | -0.677 | -1.34            | 74.7%                 | 25.3%                 |
| 0.8      | 7        | -0.99 | -0.657 | -1.32            | 75.1%                 | 24.9%                 |
| 1.0      | 5        | -1.06 | -0.618 | -1.37            | 77.5%                 | 22.5%                 |
| 1.0      | 6        | -1.06 | -0.662 | -1.39            | 76.1%                 | 23.9%                 |
| 1.0      | 7        | -1.04 | -0.634 | -1.35            | 76.6%                 | 23.4%                 |
| 1.2      | 5        | -1.04 | -0.618 | -1.35            | 77.1%                 | 22.9%                 |
| 1.2      | 6        | -1.03 | -0.648 | -1.36            | 76.1%                 | 23.9%                 |
| 1.2      | 7        | -1.03 | -0.594 | -1.32            | 77.6%                 | 22.4%                 |
| 1.4      | 5        | -1.07 | -0.616 | -1.38            | 77.7%                 | 22.3%                 |
| 1.4      | 6        | -1.07 | -0.642 | -1.39            | 76.9%                 | 23.1%                 |
| 1.4      | 7        | -1.08 | -0.583 | -1.37            | 78.7%                 | 21.3%                 |
| Average  |          | -1.04 | -0.631 | -1.35            | 76.7%                 | 23.3%                 |

Table 2. Sheet thickness sensitivity  $S_t$  of each general loads

| $t$ [mm] | $d$ [mm] | Shear           |               | Torsion       | Bending         | Peeling         |
|----------|----------|-----------------|---------------|---------------|-----------------|-----------------|
|          |          | $S_{ts}^\sigma$ | $S_{ts}^\tau$ | $S_{tr}^\tau$ | $S_{tb}^\sigma$ | $S_{tp}^\sigma$ |
| 0.8      | 6        | -0.154          | -0.037        | -0.193        | -0.522          | -0.057          |
|          |          | 16.0%           | 3.9%          | 20.1%         | 54.2%           | 5.9%            |
| 1.0      | 6        | -0.173          | -0.040        | -0.208        | -0.588          | -0.066          |
|          |          | 16.1%           | 3.7%          | 19.3%         | 54.7%           | 6.2%            |
| 1.2      | 6        | -0.174          | -0.038        | -0.196        | -0.588          | -0.057          |
|          |          | 16.5%           | 3.6%          | 18.7%         | 55.8%           | 5.4%            |
| 1.4      | 6        | -0.161          | -0.033        | -0.167        | -0.543          | -0.015          |
|          |          | 17.5%           | 3.6%          | 18.2%         | 59.1%           | 1.7%            |

Table 3. Nugget diameter sensitivity  $S_d$  of each general loads

| $t$ [mm] | $d$ [mm] | Shear           |               | Torsion       | Bending         | Peeling         |
|----------|----------|-----------------|---------------|---------------|-----------------|-----------------|
|          |          | $S_{ts}^\sigma$ | $S_{ts}^\tau$ | $S_{tr}^\tau$ | $S_{tb}^\sigma$ | $S_{tp}^\sigma$ |
| 1.0      | 5        | -0.142          | -0.044        | 0.041         | -0.453          | -0.012          |
|          |          | 23.2%           | 7.3%          | -6.7%         | 74.3%           | 1.9%            |
| 1.0      | 6        | -0.144          | -0.049        | 0.016         | -0.459          | -0.014          |
|          |          | 22.2%           | 7.5%          | -2.5%         | 70.6%           | 2.2%            |
| 1.0      | 7        | -0.127          | -0.045        | -0.037        | -0.402          | -0.016          |
|          |          | 20.3%           | 7.2%          | 5.8%          | 64.1%           | 2.6%            |

その原因解明のため、分担荷重成分による主応力分離法を用いて分担荷重成分ごとに応力成分を計算し、感度を求めた。その結果を表 2 と表 3 に示す。ナゲットに作用するねじりモーメントが板厚感度とナゲット径感度に及ぼす影響は小さく曲げが支配的なので、せん断ねじり継手の感度はねじりモーメントがゼロとなる引張せん断継手の感度に近い値となったと考えられる。

5. 感度解析結果の検証

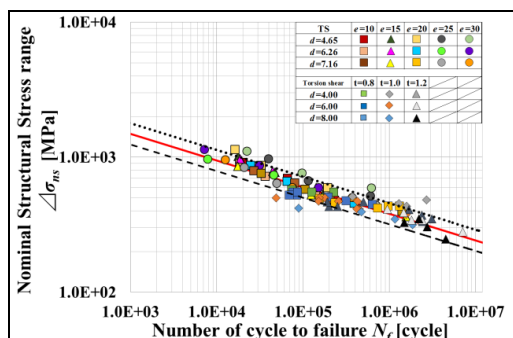
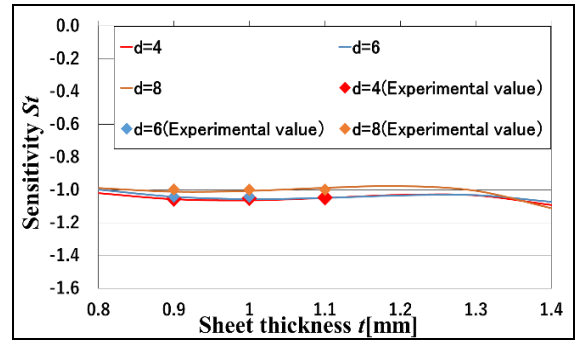
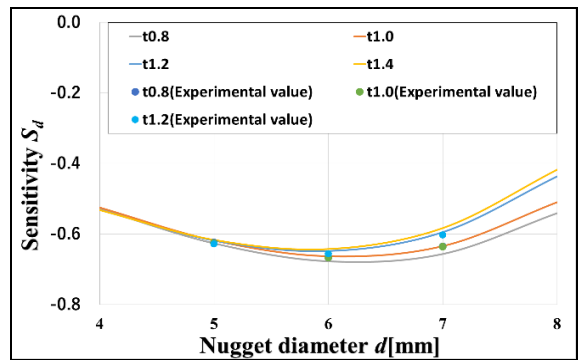


Figure 4. Nominal structural stress-Number of cycle to failure

図 4 はせん断ねじり継手の疲労試験結果を公称構造応力で整理したもので、引張せん断継手の結果も載せてある。継手形式、板厚、ナゲット径に寄らず統一的に整理されている。図 4 の回帰曲線から、各試験片の荷重疲労寿命線図の近似式を推定し、時間強度を求めて感度の実験値を算出した。図 5 に板厚感度とナゲット径感度の理論値と実験値を示す。両者はよく一致し、感度解析結果を検証することができた。



(a)  $S_t$



(b)  $S_d$

Figure 5. Comparison between the theoretical and experimental values of sensitivity

6. 結言

ねじりを受けるスポット溶接継手について感度解析を行い、疲労強度に対する板厚、ナゲット径の感度を求め、疲労試験により解析結果を検証した。

- (1) せん断ねじり継手の板厚感度は板厚によらずほぼ一定で、その平均値は-1.04 である。また、ナゲット径感度はナゲット径 5~7mm の間では大きな変化は見られず、その平均値は-0.631 である。
- (2) ナゲットに作用するねじりモーメントが板厚感度とナゲット径感度に及ぼす影響は小さく曲げが支配的であるため、せん断ねじり継手の感度はねじりモーメントがゼロとなる引張せん断継手の感度に近い値となった。